

# 3D- Riduzione Gerarchica di Modello

con le basi istruite

Matteo Aletti & Andrea Bortolossi

Politecnico di Milano

16 Ottobre 2013

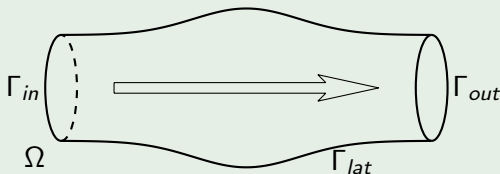


- 1 Fondamenti teorici
  - Hierarchical Model Reduction in 3D
  - Basi istruite

# Motivazione

esistenza di una direzione dominante

Vogliamo risolvere un certo tipo di problemi: quelli che presentano una direzione preferenziale



## Modello 1D

Bassa precisione ☹️

Economico 😊

HiMod

## Modello 3D

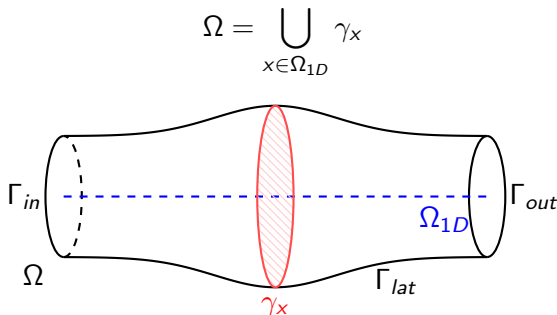
Alta precisione 😊

Costoso ☹️

# Impostazione geometrica

il dominio

- Fibra di supporto rettilinea  $\Omega_{1D}$  dove avviene la dinamica dominante.
- Suddivisione del dominio in slices  $\gamma_x$  ortogonali alla fibra di supporto.



- mappare  $\Omega$  in un dominio di riferimento  $\hat{\Omega}$  in modo che

$$\hat{\gamma}_{\hat{x}} = \hat{\gamma} \quad \forall \hat{x} \in \hat{\Omega}_{1D}$$

- espandere, in direzione trasversale, la soluzione rispetto alla base di Fourier generalizzata

$$\{\varphi_k(\hat{y}, \hat{z})\}_{k \in \mathbb{N}}$$

**Notazione:** lavoreremo già sul riferimento, non useremo quindi i cappelli.

### Spazi in direzione trasversale

$$V_{\gamma}^{\infty} = \left\{ v(y, z) = \sum_{k=1}^{\infty} v_k \varphi_k(y, z) \right\}$$
$$V_{\gamma}^m = \left\{ v(y, z) = \sum_{k=1}^m v_k \varphi_k(y, z) \right\}$$

# Processo di riduzione

## Spazi ridotti

Usiamo uno spazio  $V_{1D}$  di tipo  $H^1(\Omega_{1D})$  lungo la **direzione principale**. Possiamo ora definire gli spazi ridotti come **spazi prodotto**

### Spazi ridotti

$$V^\infty(\Omega) = V_{1D} \otimes V_\gamma^\infty := \left\{ v(x, y, z) = \sum_{k=1}^{\infty} v_k(x) \varphi_k(y, z), v_k \in V_{1D} \right\}.$$

$$V^m(\Omega) = V_{1D} \otimes V_\gamma^m := \left\{ v(x, y, z) = \sum_{k=1}^m v_k(x) \varphi_k(y, z), v_k \in V_{1D} \right\}.$$

È lo spazio delle **combinazioni lineari a coefficienti in  $V_{1D}$**  delle funzioni di base della fibra trasversale.

# Il problema

Caso condizioni di Dirichlet

Il **problema** che vogliamo risolvere ...

$$\begin{cases} -\mu \Delta u + \beta \cdot \nabla u + \sigma u = f & \text{in } \Omega \\ u = 0 & \text{su } \partial\Omega \end{cases}$$

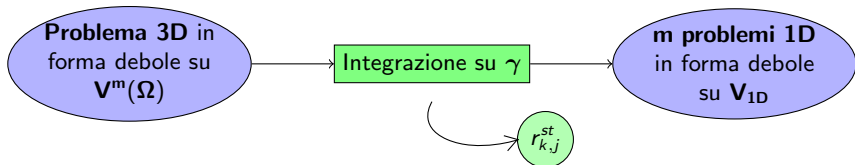
... e la sua **formulazione debole**

Trovare  $u \in H_0^1(\Omega)$  tale che

$$\int_{\Omega} \mu \nabla u \nabla v + \beta \cdot \nabla uv + \sigma uv d\Omega = \int_{\Omega} f v d\Omega \quad \forall v \in H_0^1(\Omega).$$

# Modelli ridotti

## Problemi 1D accoppiati



I coefficienti  $r_{k,j}^{st}$  accoppiano i problemi 1D: comprimono le informazioni nella fibra trasversale tramite opportuni integrali su  $\gamma$ .

Trovare  $\{u_k\}_{k=1}^m$  con  $u_k \in V_{1D} \forall k = 1 \dots m$  tale che

$$\sum_{k=1}^m \int_{\Omega_{1D}} \left[ \underbrace{\hat{r}_{k,j}^{11} \frac{\partial u_k}{\partial x} \frac{\partial \theta_j}{\partial x}}_{\text{Diffusione}} + \underbrace{\hat{r}_{k,j}^{10} \frac{\partial u_k}{\partial x} \theta_j}_{\text{Trasporto}} + \underbrace{\hat{r}_{k,j}^{00} u_k \theta_j}_{\text{Reazione}} \right] dx = \int_{\Omega_{1D}} \underbrace{\theta_j f_k}_{\text{Forzante}} dx. \quad \forall j = 1 \dots m \quad \theta_j \in V_{1D}$$



# Scelta della base

## Basi trigonometriche e polinomi di Legendre

In **letteratura** è stato considerato il problema di **Dirichlet** in **2D**. Le basi scelte sono state

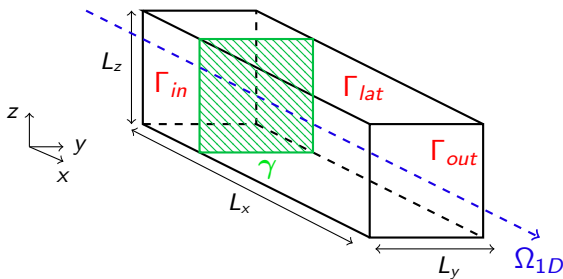
- Funzioni **trigonometriche**:  $\sin(\pi kx)$  in  $(0, 1)$  [Prof. Perotto]
- Polinomi di **Legendre** moltiplicati per un fattore  $(1 - x^2)$  + Gram-Schmidt [Prof. Blanco, LNCC]

### In questo progetto

abbiamo esteso l'approccio **trigonometrico** al **caso 3D** con condizioni al bordo omogenee di tipo piú **generale**.

# Ipotesi geometriche

Dominio parallelepipedo



**Ipotesi** per le condizioni al bordo su  $\Gamma_{lat}$

- omogenee
- di ogni tipo ma con **coefficienti costanti**

Sia  $V$  uno spazio di tipo  $H^1$ . Sia  $a(\cdot, \cdot)$  una **forma bilineare** in  $V$ , continua, **simmetrica** e debolmente coerciva ( $a(u, u) \geq \alpha \|u\|_V^2 + \lambda_0 \|u\|_{L^2}^2$ ). Allora:

- (a) L'insieme degli autovalori è numerabile ed è una successione  $\{\lambda_m\}_{m \geq 1}$  tale che  $\lambda_m \rightarrow +\infty$ ;
- (b) se  $u, v$  sono autofunzioni corrispondenti ad autovalori differenti, allora

$$a(u, v) = 0 = (u, v)_{L^2}.$$

Inoltre,  $L^2$  ha una base ortonormale  $\{u_m\}_{m \geq 1}$  di autofunzioni di  $a$ ;

- (c) la successione  $\{u_m / \sqrt{\lambda_0 + \lambda_m}\}_{m \geq 1}$  è anche una base ortonormale in  $V$ , rispetto al prodotto scalare

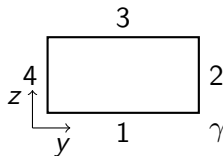
$$((u, v)) = a(u, v) + \lambda_0 (u, v)_{L^2}.$$

# Problema agli autovalori ausiliario

Due sottoproblemi agli autovalori

**Problema agli autovalori su  $\gamma$ :** un caso con condizioni al bordo miste Dirichlet e Robin

$$\begin{cases} -\Delta u = \lambda u & \text{in } \gamma \\ u = 0 & \text{su } 1, 3, 4 \\ \mu \frac{\partial u}{\partial y} + \chi u = 0 & \text{su } 2 \end{cases}$$



**Ipotesi:**  $u(y, z) = Y(y)Z(z)$

$$\begin{cases} -\frac{Y''}{Y} - \frac{Z''}{Z} = \lambda & \longrightarrow -Y'' = K_y Y, -Z'' = K_z Z, \lambda = K_z + K_y \\ u = 0 \text{ su } 1, 3 & \longrightarrow Y(y)Z(1) = 0, Y(y)Z(0) = 0 \quad \forall y \in (0, L_y) \\ u = 0 \text{ su } 4 & \longrightarrow Y(0)Z(z) = 0 \quad \forall z \in (0, L_z) \\ \mu \frac{\partial u}{\partial y} + \chi u = 0 \text{ su } 2 & \longrightarrow \mu \frac{\partial Y}{\partial y}(1)Z(z) + \chi Y(1)Z(z) = 0 \quad \forall z \in (0, L_z) \end{cases}$$

# Soluzione (semi-)analitica del problema agli autovalori

Soluzione dei due sottoproblemi e combinazione dei risultati

$$\begin{cases} -Y'' = K_y Y \text{ in } (0, L_y) \\ Y(0) = 0 \\ \mu Y'(L_y) + \chi Y(L_y) = 0 \end{cases}$$

$$\begin{cases} -Z'' = K_z Z \text{ in } (0, L_z) \\ Z(0) = 0 \\ Z(L_z) = 0 \end{cases}$$

$$\implies \{\varphi_{y,p}(y), K_{y,p}\}_{p=1}^{\infty}$$

$$\implies \{\varphi_{z,q}(z), K_{z,q}\}_{q=1}^{\infty}$$

**Combinando** queste successioni otteniamo le soluzioni del **problema iniziale** agli autovalori su  $\gamma$

$$\{\varphi_k(y, z), \lambda_k\} = \{\varphi_{y,p}(y)\varphi_{z,q}(z), K_{y,p} + K_{z,q}\}$$

Due questioni da affrontare...

- Come risolvere il singolo problema agli autovalori ?
- Siamo interessati ad ordinare le  $\{\varphi_k(y, z)\}$  rispetto al valore di  $\{\lambda_k\}$ : come è possibile farlo a partire da  $\{K_{y,p}\}$  e  $\{K_{z,q}\}$  ?

# Risoluzione sottoproblema agli autovalori

## Ricerca degli zeri

### Forma della soluzione generale

$$\phi_{y,k}(y) = A_k \sin(w_{y,k}y) + B_k \cos(w_{y,k}y), \quad w_{y,k}^2 = K_{y,k}$$

3 incognite  $A_k, B_k, w_{y,k}$   $\longleftrightarrow$  2 condizioni di bordo  
1 normalizzazione

- Note:** 1. ortogonalità garantita dal teorema spettrale  
2. equazione spesso non lineare in  $w_{y,k}$

a	b	c	d	Type	$\lambda_k$	A	B
$\chi$	$\mu$	$\chi$	$\mu$	Rob-Rob	$\tan(\sqrt{\lambda_k})(\chi - \frac{\mu^2 \lambda_k}{\chi}) + 2\mu\sqrt{\lambda_k} = 0$	1	$\frac{\mu\sqrt{\lambda_k}}{\chi}$
1	0	$\chi$	$\mu$	Dir-Rob	$\tan(\sqrt{\lambda_k}) + \frac{\mu\sqrt{\lambda_k}}{\chi} = 0$	1	$-\tan(\sqrt{\lambda_k})$
1	0	1	0	Dir-Dir	$\lambda_k = (k\pi)^2$	1	0
0	1	0	1	Neu-Neu	$\lambda_k = (k\pi)^2$	0	1

# Un problema di ordinamento

Esempio caso condizioni di Dirichlet

**Esempio:** condizioni di Dirichlet su  $\Gamma_{lat}$  con  $L_y = \pi$  e  $L_z = 3\pi/2$ .

Si ha che

$$K_{y,p} = p^2, K_{z,q} = (2/3q)^2.$$

$K_{y,p}$	1	p=1	4	p=2	9	p=3	1	p=1	4	p=2	...
$K_{z,q}$	4/9	q=1	4/9	q=1	4/9	q=1	16/9	q=2	16/9	q=2	...
$\lambda_k$	1.44	k=1	4.44	k=3	9.44	k=5	2.77	k=2	5.77	k=4	...

Per il problema dell'ordinamento abbiamo sviluppato l'algoritmo implementato in **EigensProvider**.